

# อุปกรณ์ลดแรงต้านเพื่อประหยัดเชื้อเพลิงของรถบรรทุก

## Drag Force Reduced Devices for Fuel Saving of Truck

ปรัชญา มุขดา

Prachya Mukda

Received: 17 April 2018 ; Revised : 21 August 2018 ; Accepted: 5 October 2018

### บทคัดย่อ

งานวิจัยนี้ เป็นการออกแบบอุปกรณ์เสริมด้านอากาศพลศาสตร์ของรถบรรทุก โดยแบ่งการตรวจสอบเป็น 2 ขั้นตอน ขั้นตอนแรก คือการออกแบบอุปกรณ์เสริมด้วยวิธีจำลองเชิงตัวเลข (CFD) เพื่อตรวจสอบสัมประสิทธิ์แรงต้าน ( $C_D$ ) โดยใช้กรณี (a) รถบรรทุกปกติ ซึ่งถูกใช้เพื่อเปรียบเทียบกับกรณีอื่นดังต่อไปนี้คือ กรณี (b) ติดตั้งอุปกรณ์เสริมด้านล่างหน้ารถ กรณี (c) เพิ่มอุปกรณ์เสริมผิวโคลงบริเวณหลังคารถ กรณี (d) เพิ่มอุปกรณ์ปิดช่องว่างบริเวณรอยต่อระบบ และ (e) เพิ่มอุปกรณ์ปิดระบบบรรทุก ซึ่งค่าสัมประสิทธิ์แรงต้านลดลงจากกรณี (a) คือ 0.04, 0.08, 0.11 และ 0.14 ตามลำดับ ขั้นตอนที่สอง คือการสร้าง ติดตั้ง และทดสอบ กับรถบรรทุกรถจริง เพื่อตรวจสอบอัตราการสิ้นเปลืองเชื้อเพลิง ค่าอัตราการสิ้นเปลืองน้ำมันลดลงจากการเพิกติดคือ 1.40, 2.00, 3.60 และ 4.60 ลิตร/100 กิโลเมตร ตามลำดับ จากผลแสดงให้เห็นว่า ผลของสัมประสิทธิ์แรงต้าน ( $C_D$ ) และผลทดสอบอัตราการสิ้นเปลืองน้ำมันมีค่าที่สอดคล้องกัน สามารถยืนยันได้ว่า การใช้วิธีจำลองเชิงตัวเลขนั้น สามารถนำมาออกแบบอุปกรณ์เสริมด้านอากาศพลศาสตร์ของรถบรรทุกได้อย่างถูกต้อง สามารถนำไปใช้ประโยชน์สำหรับการออกแบบอุปกรณ์เสริมด้านอากาศพลศาสตร์ ของรถประเภทอื่นได้ต่อไป

**คำสำคัญ:** อากาศพลศาสตร์ วิธีจำลองเชิงตัวเลข สัมประสิทธิ์แรงต้าน อัตราการสิ้นเปลืองเชื้อเพลิง

### Abstract

This research investigated the design of aerodynamic accessories of trucks using two methods. The first method designed accessories by computational fluid dynamics (CFD) to investigate the drag coefficient ( $C_D$ ). Case (a) was an unmodified truck which was used to compare with other cases. These cases were (b) addition of a bottom deflector, (c) addition of a roof deflector, (d) addition of a cover-gap and (e) addition of a closed-box. In case (a), the drag coefficient values decreases were 0.04, 0.08, 0.11 and 0.14 respectively. In the second method, real aerodynamic devices were constructed, setup, and tested to investigate fuel consumption. In case (a) the fuel consumption decreases were 1.40, 2.00, 3.60 and 4.60 Liters/100 km respectively. The results show that the drag coefficients and the fuel consumptions correspond together. It confirms that computational fluid dynamics can be conducted to accurately design aerodynamic accessories of trucks and can be applied to the design of other accessories in the future.

**Keywords:** Aerodynamics, Computational Fluid Dynamics, Drag Coefficient, Fuel Consumption

## บทนำ

การขยายตัวทางด้านเศรษฐกิจ เป็นตัวแปรที่มีผลทำให้เกิด วิกฤตด้านพลังงานของประเทศไทย เพราะพลังงานเป็นปัจจัยหลักที่ทำให้ระบบเศรษฐกิจสามารถขับเคลื่อน ซึ่งจากข้อมูล การใช้พลังงานจำแนกตามสาขาเศรษฐกิจปี 2557 (Figure 1) แสดงให้เห็นว่า การขนส่งมีปริมาณการใช้พลังงานมากที่สุด เทียบเท่ากับการใช้พลังงานในอุตสาหกรรม

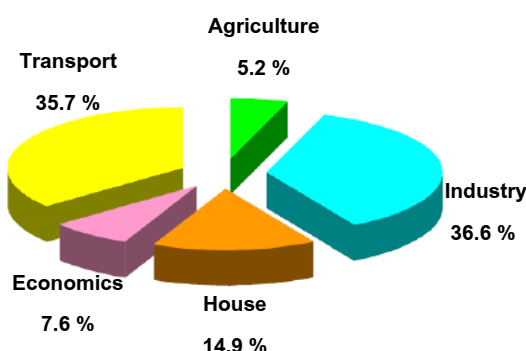


Figure 1 Proportion of energy using in Thailand<sup>1</sup>

Table 1 Energy proportion of transportation in Thailand<sup>1</sup>

Type of Transportation	Pure oil (Ton billion)	Percentages
Truck	17,684	75.96 %
Train	104	0.45 %
Ship	1,645	7.07 %
Airline	3,847	16.52%

ซึ่งการขนส่งสินค้าและวัสดุต่างๆ จำเป็นต้องใช้ยานพาหนะที่มีขนาดใหญ่เพื่อความคุ้มค่าในเชิงเศรษฐศาสตร์ เช่น รถไฟฟ้า หรือเครื่องบินแต่เนื่องจากกระบวนการจัดการการส่งสินค้าภายในประเทศยังไม่มีการพัฒนาที่ดีพอ กับการคมนาคมขนส่งของยานพาหนะดังกล่าว รถบรรทุกขนาดใหญ่ หรือรถบรรทุกที่มีขนาดมากกว่า 10 ตัน จึงเป็นยานพาหนะที่ใช้ในการขนส่งภายในประเทศมากที่สุด ตาม Table 1 เพื่อความเหมาะสมกับสภาพถนน สภาพภูมิประเทศ และต้นทุนในการขนส่ง ดังนั้นในภาครัฐจึงต้องมีมาตรการลดการใช้พลังงานของรถบรรทุกให้มากที่สุด

การส่งเสริมการใช้รถบรรทุกประหยัดพลังงาน ก็เป็นนโยบายหนึ่งของมาตรการ ซึ่งภาคอุตสาหกรรมการผลิตรถ และนักวิจัย จึงพยายามคิดค้นเทคโนโลยีใหม่ ที่สามารถลดอัตราการสิ้นเปลืองน้ำมันของรถบรรทุกให้มากที่สุด อาทิเช่น การปรับปรุงประสิทธิภาพของเครื่องยนต์ให้สูงขึ้น การใช้

พลังงานทดแทน การใช้เครื่องยนต์พลังงานแบบผสม (Hybrid engine) ที่เป็นหนทางหนึ่ง ที่จะทำให้มาตรการนั้นประสบผลสำเร็จ แต่ที่มีสำคัญไม่น้อยกว่าเรื่องของเครื่องยนต์ก็คือ การลดแรงดันอากาศซึ่งยังไม่มีการศึกษาในเชิงออกแบบอุปกรณ์เสริมเพื่อลดแรงดัน หรือพัฒนามากนักการพัฒนาอุปกรณ์เสริมด้านอากาศพลศาสตร์ (Aerodynamics) ที่มีอิทธิพลโดยตรงกับอัตราการสิ้นเปลืองเชื้อเพลิงมากนัก โดยเฉพาะอุปกรณ์เสริมที่ติดตั้งลงกับทิศทางการไหลของอากาศ และยื่นออกจากตัวรถ ซึ่งเป็นอุปกรณ์ที่เพิ่มแรงดันอากาศ (Pressure drag) โดยอุปกรณ์เหล่านี้จะดูดซับพลังงานส่วนเสื่อม ความดัน และเสียความเร็ว ของอากาศเมื่อปะทะกับรถ เช่น กันชนรถยนต์ อุปกรณ์บังแสงแดดร้านข้างกระจก อุปกรณ์สำหรับวางของบนหลังคา เป็นต้น และสาเหตุการเกิดแรงดันที่เกิดขึ้นจากการไหลของอากาศผ่านรถยนต์นั้น ยังมีแรงดันเนื่องจากการไหลของอากาศเข้าสู่ภายในรถยนต์ (Internal flow loss) โดยอากาศสามารถไหลเข้าผ่านช่องว่างระหว่างส่วนประกอบของชิ้นส่วนรถยนต์ ทำให้เกิดการหมุนวนภายใน ซึ่งมักจะเกิดขึ้นกับช่วงหัวระหัวห้องผู้โดยสารกับส่วนท้ายกระเบนของรถบรรทุก ตามสัดส่วนของแรงดันใน Figure 2<sup>2</sup>

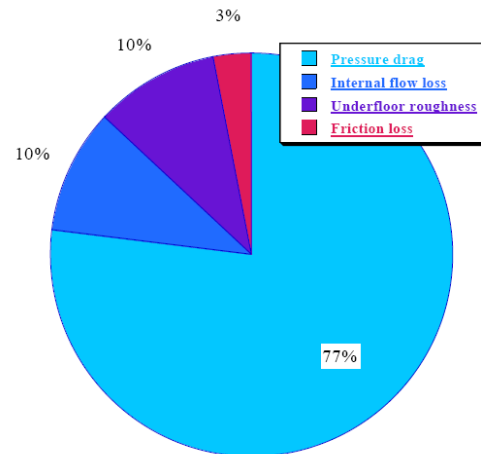


Figure 2 Drag proportion of car<sup>2</sup>

จากการวิจัยที่ผ่านมา ได้นำความรู้เรื่องอากาศพลศาสตร์ของรถบรรทุกขนาด 10 ตัน มาศึกษาสัมประสิทธิ์แรงดัน และแรงดันอากาศ โดยทำการศึกษาทั้งการทดลองและด้านการจำลองโดยใช้โปรแกรมการจำลองเชิงตัวเลขของอากาศพลศาสตร์ (Computational Fluid Dynamics: CFD) ซึ่งแบบจำลองเชิงตัวเลขของอากาศพลศาสตร์ (Modeling) นั้น ได้ผ่านการยืนยันผลกับการทดลอง (Validation) ระหว่างการทดสอบสมประสิทธิ์แรงดันของรถด้วยอุโมงค์ลม ซึ่งได้ผลต่างไม่เกิน 5 % ซึ่งรูปแบบเงื่อนไขของการจำลองเชิงตัวเลข แสดงไว้ Table 2<sup>3</sup>

**Table 2** Condition for computation fluid dynamics<sup>3</sup>

GAMBIT 3D	
Inlet boundary condition	Velocity inlet
Outlet boundary condition	Pressure outlet
Grid	728,644 cell <sup>-1</sup>
FLUENT 3D	
Solve	Segregated Solver
Linearization	Implicit method
Turbulent model	Standard k-epsilon
Near-wall treatment method	Standard wall function
Velocity testing	10 – 25 m/s

หลังจากนั้น ตรวจสอบสัมประสิทธิ์แรงต้านมีการติดตั้งอุปกรณ์เสริมแบบต่างๆ เปรียบเทียบกันทั้งหมด 5 กรณี เพื่อคำนวณทำการเปลี่ยนแปลงอัตราการสิ้นเปลืองน้ำมันที่แสดงใน Table 3<sup>4</sup> โดยใช้ทฤษฎีของ Leuschen J and Cooper KR.<sup>5</sup>

**Table 3** Fuel consumption to average velocities<sup>4</sup>

Case studies	Liters / 100 km	Percentage
(1) Non-modified truck	-	-
(2) Closed-dump box	2.33	7.76 %
(3) Opened-dump box	-2.59	-8.63 %
(4) Dump box equipped with flat plate at the end rear	-3.82	-12.73 %
(5) Dump box equipped with ellipsoid shape at rear end	-6.56	-21.86 %

ผลจากการวิจัยดังกล่าว ทำให้ทราบถึงแนวทางในการลดอัตราการสิ้นเปลืองน้ำมัน ด้วยการติดตั้งอุปกรณ์เสริมที่สามารถทำให้ลดสัมประสิทธิ์แรงต้าน ที่เกิดมาจากการแตกต่างของแรงดันด้านหน้าและด้านท้ายรถันผลลดลง ตามสมการที่ (1)

$$F_D = \int_{front} p \cos\theta dA - \int_{back} p \cos\theta dA \quad (1)$$

เมื่อ  $F_D$  คือแรงด้านรวมของรถ (N),  $p$  คือค่าแรงดันอากาศ (N/m<sup>2</sup>),  $A$  คือพื้นที่หน้าตัด ด้านหน้าและด้านหลังของรถ

ดังนั้น จากเหตุผลดังกล่าว จึงเป็นแนวทางที่สำคัญที่นำมาต่อยอดในงานวิจัยนี้ ด้วยการออกแบบอุปกรณ์เสริมติดตั้งและทดสอบจริง

### การดำเนินงานวิจัยและผลการทดสอบ

ดังนั้นในงานวิจัยนี้ จึงเป็นการออกแบบ สร้างอุปกรณ์เสริมต้นแบบ เพื่อติดตั้งและทดสอบจริง กับรถบรรทุกยี่ห้อ ISUZU DECA รุ่น FXZ 240 โดยทำการตรวจสอบอัตราการสิ้นเปลืองเชื้อเพลิงทั้ง 2 วิธี คือวิธีจำลองเชิงตัวเลข และการติดตั้งและทดสอบจริง เพื่อยืนยันความถูกต้อง และการอภิปรายผล โดยอุปกรณ์ในการทดลองทั้งหมด 4 อุปกรณ์ ดังต่อไปนี้คือ

- (1) รถบรรทุกปกติ (Non-modified truck)
- (2) อุปกรณ์เสริมด้านล่างหน้ารถ (Bottom deflector)
- (3) อุปกรณ์เสริมผิวโคลงบริเวณหลังคารถ (Roof deflector)

- (4) อุปกรณ์ปิดช่องว่างบริเวณรอยต่อระบบ (Cover-gap)

- (5) อุปกรณ์ปิดระบบบรรทุก (Closed-box)  
ซึ่งการทดสอบนั้นจะเริ่มต้นจากการ (a) ปกติ (ซึ่งเป็นกรณีใช้เบรียบเทียบ) จากนั้นกรณี (b), (c), (d) และ (e) เป็นการติดตั้งเพิ่มขึ้นทีละอุปกรณ์ตามกรณีการทดสอบที่เพิ่มขึ้น

### 1. การออกแบบด้วยวิธีจำลองเชิงตัวเลข (CFD)

ขั้นตอนแรก ด้วยการใช้วิธีจำลองเชิงตัวเลข ด้วยการใช้เงื่อนไขที่ผ่านการยืนยันผลแล้ว (Validation) จากงานวิจัยที่ผ่านมา ตาม Table 2 นำมาจำลองเพื่อออกแบบอุปกรณ์เสริมด้วยการเปลี่ยนแปลงรูปทรงโดย และการปรับมุมที่แตกต่างกัน เพื่อหาค่าสัมประสิทธิ์แรงต้านรวมที่น้อยที่สุด ใช้ความเร็วในการทดสอบในช่วง 36 – 126 กิโลเมตรต่อชั่วโมง อุปกรณ์ดังกล่าว แสดงใน Figure 3

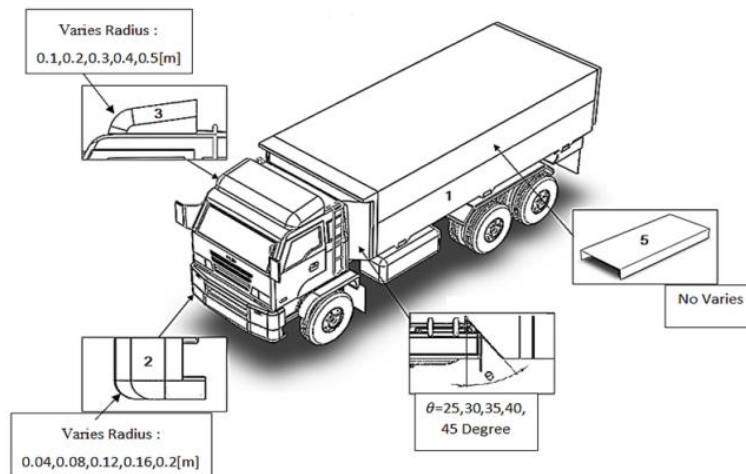


Figure 3 Study cases for CFD design

## 2. การติดตั้งและทดสอบจริง

หลังจากการจำลองสัมประสิทธิ์แรงต้านของอุปกรณ์เสริม ค่าที่เหมาะสมที่สุดจากการออกแบบ ที่ใช้ติดตั้งเพื่อทดสอบจริงกับรถบรรทุกทั้ง 5 กรณีตาม Figure 4 รายละเอียดดังนี้คือ

- (1) รถบรรทุกปกติที่ไม่มีการติดตั้งอุปกรณ์เสริม
- (2) ค่าวัสดุของอุปกรณ์เสริมด้านหน้ารถบรรทุกที่เหมาะสม คือ 0.20 m
- (3) ค่าวัสดุของอุปกรณ์เสริมผิวโคลงบริเวณหลังคาที่เหมาะสม คือ 0.50 m
- (4) ค่าของมุมอุปกรณ์เสริมปิดช่องว่างบริเวณรอยต่อระบบที่เหมาะสม คือ 35 องศา
- (5) ปิดระบบบรรทุกด้วยผ้าใบครอบระบบบรรทุกทั้งหมด

ในการทดสอบอัตราการสิ้นเปลืองเชื้อเพลิงรถบรรทุกที่ใช้ทดสอบยี่ห้อ ISUZU DECA รุ่นFXZ 240 น้ำหนัก 13 ตัน 360 แรงม้า 9,839 ซีซี ความจุถังเชื้อเพลิง 370 ลิตร ในการทดสอบอัตราการสิ้นเปลืองเชื้อเพลิงวิ่งทดสอบจาก บริษัท พรอส เพอร์ฟิ๊ คอนกรีต จำกัด ไปยัง บริษัท สโตนวัน จำกัด มหาชน ทดสอบวิ่งปกติในช่วงความเร็วไม่เกิน 80 กิโลเมตร ต่อชั่วโมง ระยะทางที่ใช้ในการทดสอบแต่ละรอบโดยเฉลี่ยแล้ว เท่ากับ 50 กิโลเมตร วันละ 8 รอบ ใช้ระยะเวลาในการทดสอบเก็บผล 1 เดือน โดยใช้รถคันเดียวกันในการทดสอบ

อัตราการสิ้นเปลืองน้ำมัน เก็บข้อมูลโดยการเติมน้ำมันเติมถังทำการวิ่งทดสอบ และกลับมาเติมน้ำมันเติมถังอีกครั้งหนึ่งเพื่อตรวจสอบน้ำมันที่ใช้ไปของแต่ละรอบ ทุกๆ กรณีทดสอบทั้ง 5 กรณี



Figure 4 accessory devices set up of every case

## ผลและการวิเคราะห์ผล

จากการทดสอบนั้นสัมประสิทธิ์แรงต้านจะลดลง หรือเพิ่มขึ้น ขึ้นอยู่กับการเปลี่ยนแปลงการกระจายตัวของความดันและความแปรปรวนของอากาศรอบบริเวณของรถบรรทุกโดยหลักการของการออกแบบคือเพื่อลดความแปรปรวนของอากาศหรือลดความแตกต่างของความดันด้านหน้า และด้านหลังจากการปะทะของอากาศกับรถบรรทุกโดยสามารถวิเคราะห์ได้จากสมการ (1)

**กรณี (a)** รถบรรทุกปกติ ขนาดของแรงต้านจะขึ้นอยู่กับ 2 ปัจจัยหลัก คือ ผลต่างของการกระจายตัวของความดันรอบๆบริเวณด้วยรถและความแปรปรวนของอากาศที่ผ่านด้วยรถ หากพิจารณาจาก Figure 5 (a) สามารถแบ่งความแตกต่างของความดันออกเป็น 3 บริเวณความดันคือ บริเวณห้องโดยสาร บริเวณกระเบนบรรทุก และบริเวณท้ายรถ ซึ่งทั้ง 3 บริเวณมีแตกต่างของความดันอย่างชัดเจน โดยที่บริเวณห้องโดยสารจะมีความดันสูงกว่าบริเวณอื่นๆ ส่วนบริเวณกระเบนบรรทุกและบริเวณท้ายรถจะมีความดันลดลง ผลต่างของความดันที่เกิดขึ้นทำให้เกิดการไหลย้อนกลับ หรือการหมุนวนของอากาศ อากาศที่หมุนวนแสดงถึงสภาพที่มีความดันต่ำเนื่องจากอัตราเร่งของอากาศมีความต่างกันสูง

จากการวิเคราะห์ข้อมูลที่ได้จากการเส้นระดับแบบสี ความดันแล้ว หากต้องการลดค่าของสัมประสิทธิ์แรงต้านของรถบรรทุกจะต้องลดค่าผลต่างของความดันบริเวณรอบๆตัวรถลงหรือลดความแปรปรวนของอากาศผ่านด้วยรถ ดังนั้นจึงได้มีการปรับแต่งและติดตั้งอุปกรณ์เสริมขึ้นเพื่อต้องการลดแรงต้านของรถบรรทุกดังนี้คือ

### กรณี (b) ติดตั้งอุปกรณ์เสริมด้านล่างหน้ารถ

การออกแบบและติดตั้งอุปกรณ์เสริมนี้ เป็นผลพวงมาจากการนี (a) คือแนวคิดในการออกแบบเกี่ยวกับแรงต้านที่เกิดขึ้นกับของภาคตัดขวางของรถ (Frontal Area) ซึ่งจะมีอิทธิพลมากที่สุดกับสัมประสิทธิ์แรงต้าน หรือแรงต้านที่เกิดขึ้นกับด้วยรถ ซึ่งมีทิศทางตั้งฉากกับพื้นที่หน้าตัด ดังนั้น อุปกรณ์เสริมด้านล่างหน้ารถ จึงเป็นอุปกรณ์ที่มีส่วนช่วยลดแรงต้านอากาศด้านหน้า เนื่องจากอากาศที่ปะทะด้านหน้านั้นมีค่าที่สูงมาก ส่วนโถงด้านล่างนี้ จะทำให้อากาศที่เข้าปะทะเกิดการสูญเสียสู่ด้านล่างของตัวรถ ทำให้ความเร็วสูงขึ้น (เมื่อนอกจาก การไหลของของไห้ในท่อที่มีขนาดเล็ก) อากาศที่ไห้ผ่านนี้จะมีส่วนช่วยให้แรงดันด้านท้ายสูงขึ้น เนื่องจากการสูญเสียแรงดันที่เกิดจากการปะทะด้านหน้าลดลง แปลงเป็นเขตของความเร็ว ทำให้เกิดความสมดุลของอากาศระหว่างด้านหน้าและด้านท้ายมากขึ้น (สังเกตจากอากาศที่หมุนวนมีขนาดเล็ก

ลง Figure 5 (b) ทำให้แรงต้าน และสัมประสิทธิ์แรงด้านลดลง จากกรณี (a)

กรณี (c) ติดอุปกรณ์เสริมด้านล่างรถ + อุปกรณ์เสริมผิวโค้งหลังคารถ แนวคิดการการออกแบบอุปกรณ์เสริมนี้ เนื่องจากมาจากการณี (a) บริเวณส่วนห้องผู้โดยสารด้านบน เป็นส่วนหนึ่งที่เกิดการแยกตัวของอากาศอย่างฉับพลัน ทำให้เกิดการหมุนวนของอากาศ และความต่างของแรงดันที่สูง เนื่องจากบริเวณหัวรถด้านบนมีรูปร่างเป็นเหลี่ยม ค่า

สัมประสิทธิ์แรงด้านโดยรวมจึงมีค่าสูง ดังนั้น รูปทรงลักษณะหดหน้าแบบครึ่ง (Streamline Half-Body at a Ground Plane) จะสามารถลดสัมประสิทธิ์แรงด้านได้ ซึ่งรูปทรงนี้หากมีลักษณะที่เรียวยาวที่เหมาะสม ก็จะสามารถช่วยลดอาการที่หมุนวนได้ แต่อย่างไรก็ตาม แรงดูดของบริเวณผิวสัมผัสรูปทรงของหดหน้าที่ยาวเกินไป ก็จะทำให้มีผลกับความหนืดของอากาศเกิดแรงด้านจากแรงเสียดทานของอากาศ (Friction force) หรือความพยายามที่สั้นเกินไป

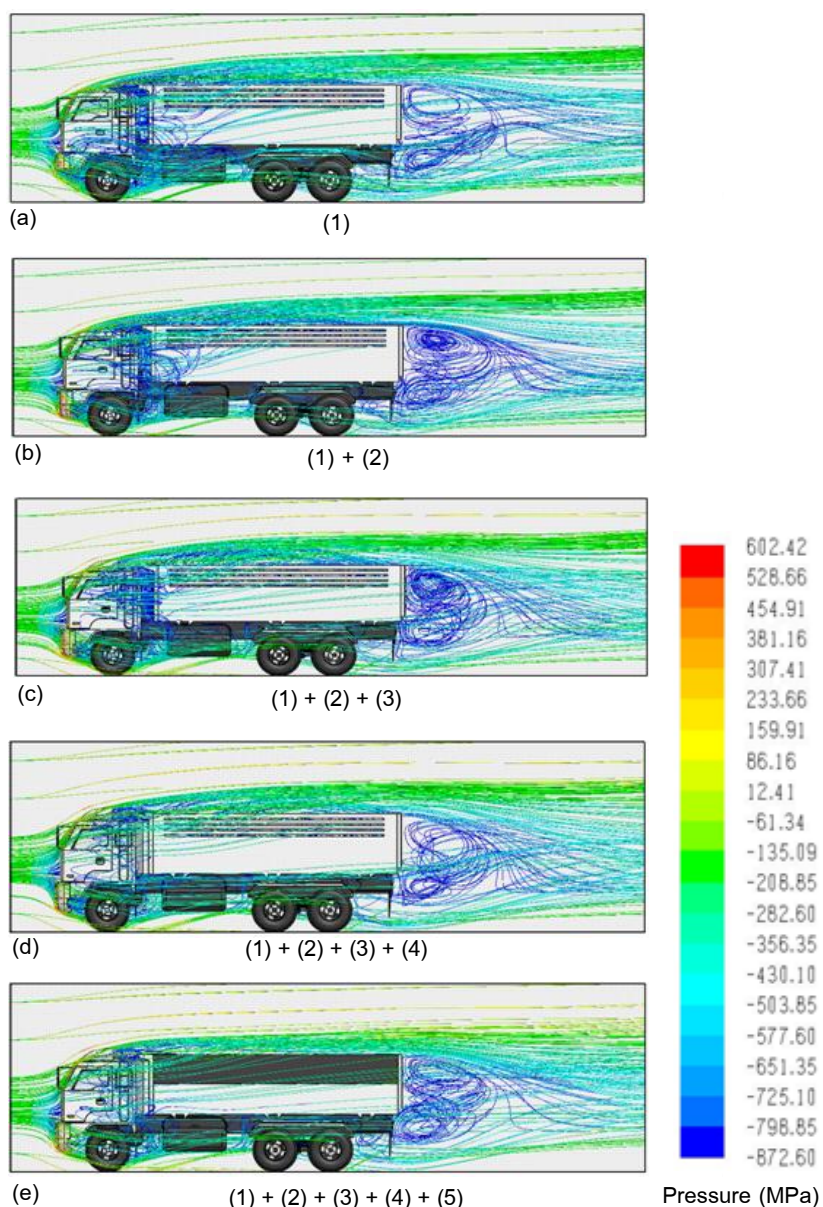


Figure 5 Pressure pathline of each case

อากาศหมุนวนบริเวณส่วนท้ายมาก ก็จะเกิดแรงด้านหนึ่งยานเข้าเดียวกัน (Induction force) ดังนั้นจึงต้องออกแบบให้เหมาะสมกับพื้นที่ของบริเวณรถ ซึ่งเป็นรูปทรงที่ดีที่สุด พิจารณาจาก Figure 5 (c) ลักษณะการไหลสมดุลกันมากขึ้น ความดันแตกต่างส่วนท้ายของรถให้มีความใกล้เคียงกับความดันส่วนหน้ามากที่สุดความเร็วของอากาศที่ไหลผ่านหลังรถมีความเร็วสูงกว่าส่วนล่างของรถลักษณะการไหลแยกตัวของอากาศบริเวณส่วนต่างๆ ดังแต่บริเวณห้องโดยสารบริเวณปีดกระบวนการทุก และบริเวณท้ายรถน้อยลง มีความสมดุลของการไหลมากขึ้น ทำให้สัมประสิทธิ์แรงด้านกรณีนี้ต่ำลงอีก

**กรณี (d) ติดอุปกรณ์เสริมด้านล่างรถ + อุปกรณ์เสริมผิวโลหะหลังคารถ + อุปกรณ์ปิดช่องว่างบริเวณรอยต่อระบบ จากการนี้ที่ 1 แรงด้านอีกอย่างหนึ่งที่สั้นเกตเห็นคือ แรงด้านอากาศที่เกิดจากการไหลเข้าภายในรถยนต์ (Internal flow loss) เป็นแรงด้านที่อากาศไหลผ่านเข้าสู่ช่องว่างระหว่างห้องผู้โดยสารกับส่วนกระบวนการทุก แรงด้านประเภทนี้จะมีค่าน้อยกว่าแรงด้านที่เกิดขึ้นปัจจุบัน แต่ก็มีผลในเชิงทฤษฎีประมาณ 10 เบอร์เซ็นต์ ดังนั้นจึงเป็นการริบเม้นวิธีในการสร้างอุปกรณ์เสริมนี้ ซึ่งจาก Figure 4 (d) จะสั้นเกตเห็นการลดลงของแรงด้าน และความเร็วของอากาศ ตรงบริเวณดังกล่าว เนื่องจากอากาศที่ไหลผ่านด้านห้องโดยสารด้านข้างรถนั้น อากาศไม่สามารถที่จะไหลเข้าสู่ช่องว่างบริเวณส่วนหัวกับส่วนกระบวนการทุกได้ จึงมีส่วนช่วยให้อากาศที่หมุนวนโดยรวมมีค่าต่ำลงอีก**

**กรณี (d) ติดอุปกรณ์เสริมด้านล่างรถ + อุปกรณ์เสริมผิวโลหะหลังคารถ + อุปกรณ์ปิดช่องว่างบริเวณรอยต่อระบบ + อุปกรณ์ปิดกระบวนการทุก**

จากการนี้ (a) ส่วนบริเวณห้องผู้โดยสาร และบริเวณกระบวนการทุก จะมีผลต่างของความดันที่เกิดขึ้นสูง ทำให้เกิดการไหลย้อนกลับเรียกว่าการแยกตัว (Separation) สูงมาก และผลต่างของความดันทั้งสองบริเวณนี้ จะทำให้เกิดการหมุนวนของอากาศบริเวณห้องกระบวนการ และเกิดการประทับน้ำหน่วง อากาศกับฝาท้ายกระบวนการทุกจึงเพิ่มแรงด้านอีกอย่างหนึ่ง ดังนั้นการปิดกระบวนการทุกจึงจะสามารถลดแรงด้านที่เกิดขึ้นนี้ในระดับหนึ่ง โดยเฉพาะรถบรรทุกที่บรรทุกสินค้าหรือบรรทุกของที่มีน้ำหนักเบา จึงจำเป็นอย่างยิ่งที่ต้องมีอุปกรณ์นี้ เพื่อเป็นตัวช่วยในการปิดปีดสิ้นค้าที่มีผลกับสภาพบรรยากาศ และให้ถูกต้องตามกฎหมายกับการล่วงหล่นของสินค้า ซึ่งจาก Figure 5 (e) เมื่อนำอุปกรณ์ปิดกระบวนการทุกร่วมกับอุปกรณ์เสริมอย่างอื่นแล้ว ทำให้สภาพอากาศที่ไหล

ผ่านด้วย มีความสมดุลมากขึ้น และผลในเชิงตัวเลข จะมีค่าสัมประสิทธิ์แรงด้านที่ต่ำที่สุดหากติดอุปกรณ์เสริมรวมกันทุกด้วย

ดังนั้น Table 4 แสดงให้เห็นว่า เมื่อมีการติดตั้งอุปกรณ์เสริมกับรถบรรทุก ทำให้สัมประสิทธิ์แรงด้านรวมลดลงจากเดิม และลดลงตามลำดับเมื่อมีการติดตั้งอุปกรณ์เสริมเพิ่มขึ้นเรื่อยๆ โดยกรณี (b), (c), (d) และ (e) ค่าสัมประสิทธิ์แรงด้าน ( $\Delta C_D$ ) คือ - 0.04, - 0.08, - 0.11 และ - 0.14 หลังจากนั้นนำมาเปรียบเทียบกับการทดสอบจริง ซึ่งอัตราการสิ้นเปลืองเชื้อเพลิงลดลงตามลำดับคือ -1.4, - 2.0, -3.6 และ -4.6 ลิตรต่ำหนึ่งร้อยกิโลเมตร

**Table 4 Drag coefficient ( $\Delta C_D$ ), Fuel consumption change ( $\Delta u$ ) by comparison with (a) case**

Study cases	$\Delta C_D$	$\Delta u$ Liters/100 km
(a) 1	-	-
(b) 1+2	- 0.04	- 1.40
(c) 1+2+3	- 0.08	- 2.00
(d) 1+2+3+4	- 0.11	- 3.60
(e) 1+2+3+4+5	- 0.14	- 4.60

## สรุปผล

โครงการวิจัยนี้ คือการออกแบบ สร้าง ติดตั้ง และทดสอบจริงของอุปกรณ์เสริมด้านอากาศพลศาสตร์ของรถบรรทุก โดยนำวิธีจำลองเชิงตัวเลขเป็นเครื่องมือในการออกแบบ ด้วยการจำลองการไหลเพลิงศาสตร์ของอากาศผ่านตัวรถและอุปกรณ์เสริมทั้ง 4 อุปกรณ์ แต่ละอุปกรณ์มีการเปลี่ยนแปลงมุม รัศมีโคลง เพื่อหาค่าที่ให้สัมประสิทธิ์แรงด้านรวมที่ต่ำที่สุด ก่อนที่จะนำมาสร้างจริงและทดสอบจริง โดยใช้กรณี (a) เป็นกรณีเปรียบเทียบ จากผลแสดงให้เห็นว่า ค่าสัมประสิทธิ์แรงด้าน ( $C_D$ ) จากวิธีจำลองเชิงตัวเลขและค่าอัตราการสิ้นเปลืองเชื้อเพลิง ( $\Delta u$ ) จากการทดสอบจริงมีแนวโน้มที่ลดลงและลดคล่องกันตามลำดับ จึงสามารถยืนยันผลลัพธ์ของอุปกรณ์เสริม เพื่อนำไปสร้างและใช้จริงต่อไปในอนาคต

## กิตติกรรมประกาศ

ขอขอบคุณ มหาวิทยาลัยราชภัฏเพชรบุรี และสำนักงานคณะกรรมการวิจัยแห่งชาติ (วช.) ที่ให้ทุนสนับสนุนกับโครงการวิจัยนี้ จาก ประจำปีงบประมาณ พ.ศ. 2558 ตามมติคณะกรรมการตว.

### เอกสารอ้างอิง

1. กรมพัฒนาพลังงานทดแทนและอนุรักษ์พลังงาน (2560).  
สถานการณ์พลังงานของประเทศไทยปี 2560
2. Hucho, W.H. Aerodynamics of road vehicles. Journal of wind Engineering and Industrial Aerodynamics. 94, 334-361, 2006.
3. ปรัชญา มุขดา และอนุชา สายสร้อย. อัตราการสิ้นเปลืองน้ำมันกับลักษณะอากาศพลศาสตร์ของรถบรรทุก ที่ติดตั้งอุปกรณ์เสริมแบบต่าง ๆ. วารสารวิทยาศาสตร์และเทคโนโลยีมหาวิทยาลัยอุบลราชธานี 2554; 13(4):42-51.
4. Leuschen J, Cooper KR. Full-Scale Wind Tunnel Tests of Production and Prototype Second-Generation Aerodynamic Drag-Reducing Devices for Tractor-Trailers. SAE 2006.
5. ปรัชญา มุขดา “อิทธิพลของอุปกรณ์ด้านอากาศพลศาสตร์ กับอัตราการสิ้นเปลืองเชื้อเพลิงของรถบรรทุก,” วารสาร วิทยาศาสตร์และเทคโนโลยีมหาวิทยาลัยมหาสารคาม ปี ที่ 34 ฉบับที่ 3 พฤษภาคม – มิถุนายน 2558